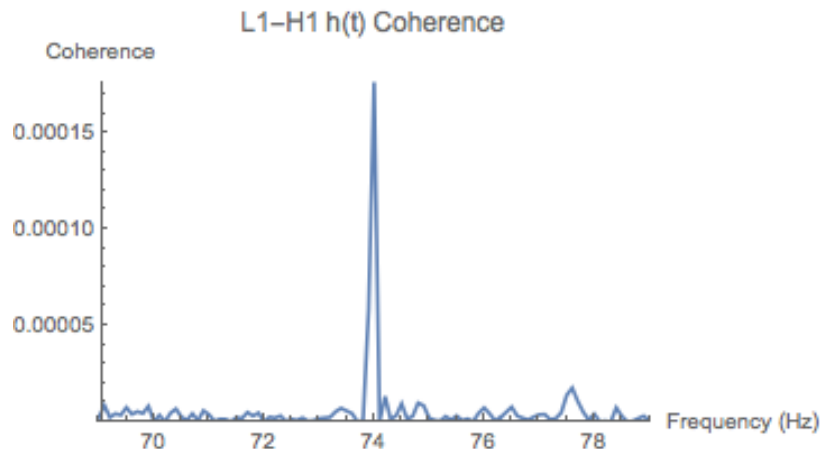


74-Hz Line across O1

Nathaniel Strauss

Some Comments

- This document investigates a coherence line at 74 Hz between H1 and L1. Below is a plot showing this coherence, generated by [stochmon](#).
- This presentation is a summary of the coherence tool results around 74 Hz, which is based on coherence with the local (H1 or L1) $h(t)$ channel, averaged over a week with 1 mHz resolution. You can find the complete set of results [here](#).
- You can look through the plots of the channels on the following slides by downloading [this zip file](#).



Week 1

L1:ASC-REFL_B_RF45_Q_PIT_OUT_DQ
L1:ASC-REFL_B_RF9_Q_PIT_OUT_DQ
L1:HPI-ETMX_BLND_L4C_RY_IN1_DQ
L1:HPI-ETMX_BLND_L4C_X_IN1_DQ
L1:HPI-HAM2_BLND_L4C_RX_IN1_DQ
L1:HPI-HAM2_BLND_L4C_X_IN1_DQ
L1:HPI-HAM3_BLND_L4C_RZ_IN1_DQ
L1:IMC-I_OUT_DQ
L1:IMC-PZT_PIT_OUT_DQ
L1:IMC-REFL_DC_OUT_DQ
L1:IMC-WFS_A_DC_SUM_OUT_DQ
L1:IMC-WFS_A_I_PIT_OUT_DQ
L1:ISI-ETMX_ST1_BLND_X_T240_CUR_IN1_DQ
L1:ISI-ETMY_ST1_BLND_RZ_T240_CUR_IN1_DQ
L1:ISI-HAM2_BLND_GS13RY_IN1_DQ
L1:ISI-ITMY_ST1_BLND_X_T240_CUR_IN1_DQ
L1:PEM-CS_ACC_PSL_TABLE1_Y_DQ
L1:PEM-CS_ACC_PSL_TABLE1_Z_DQ
L1:PEM-EX_ACC_VEA_FLOOR_Z_DQ
L1:PEM-EY_MAINSMON_EBAY_2_DQ
L1:SUS-ETMX_M0_DAMP_Y_IN1_DQ
L1:SUS-ETMY_L3_OPLEV_SUM_OUT_DQ
L1:SUS-ITMX_L2_WIT_P_DQ
L1:SUS-MC2_M1_ISIWIT_L_DQ
L1:SUS-MC3_M3_WIT_Y_DQ
L1:SUS-OMC_M1_DAMP_Y_IN1_DQ
L1:SUS-PR3_M2_WIT_P_DQ
L1:SUS-PRM_M1_ISIWIT_T_DQ
L1:SUS-SR2_M1_DAMP_P_IN1_DQ
L1:SUS-SR2_M3_WIT_Y_DQ
L1:SUS-SRM_M1_DAMP_P_IN1_DQ

H1:ASC-REFL_A_DC_YAW_OUT_DQ
H1:ASC-REFL_B_RF45_Q_PIT_OUT_DQ
H1:HPI-HAM3_BLND_L4C_RX_IN1_DQ
H1:IMC-DOF_3_P_IN1_DQ
H1:IMC-IM4_TRANS_SUM_OUT_DQ
H1:IMC-MC2_TRANS_PIT_OUT_DQ
H1:IMC-MC2_TRANS_SUM_OUT_DQ
H1:IMC-PZT_PIT_OUT_DQ
H1:SUS-ITMY_L1_WIT_L_DQ
H1:SUS-ITMY_L1_WIT_P_DQ
H1:SUS-ITMY_L1_WIT_Y_DQ
H1:SUS-MC1_M1_DAMP_P_IN1_DQ
H1:SUS-PR3_M2_WIT_P_DQ

Week 2

L1: ISI-ETMY_ST2_BLND_RZ_GS13_CUR_IN1_DQ
L1: ISI-HAM2_BLND_GS13X_IN1_DQ
L1: ISI-HAM4_BLND_GS13X_IN1_DQ
L1: SUS-ITMX_L3_OPLEV_PIT_OUT_DQ
L1: SUS-PR2_M3_WIT_Y_DQ

H1: ASC-AS_B_RF36_Q_PIT_OUT_DQ
H1: ASC-REFL_B_RF9_I_PIT_OUT_DQ
H1: ASC-REFL_B_RF9_I_YAW_OUT_DQ
H1: ASC-REFL_B_RF9_Q_PIT_OUT_DQ
H1: ISI-BS_ST2_BLND_Y_GS13_CUR_IN1_DQ

Week 3

L1:ASC-AS_B_RF36_I_PIT_OUT_DQ
L1:ASC-AS_B_RF45_I_PIT_OUT_DQ
L1:ASC-REFL_B_RF45_I_YAW_OUT_DQ
L1:HPI-BS_BLND_L4C_Z_IN1_DQ
L1:HPI-ETMX_BLND_L4C_RY_IN1_DQ
L1:HPI-ETMX_BLND_L4C_RZ_IN1_DQ
L1:HPI-ETMX_BLND_L4C_X_IN1_DQ
L1:HPI-HAM2_BLND_L4C_X_IN1_DQ
L1:HPI-HAM5_BLND_L4C_Z_IN1_DQ
L1:HPI-ITMY_BLND_L4C_RY_IN1_DQ
L1:HPI-ITMY_BLND_L4C_RZ_IN1_DQ
L1:IMC-DOF_1_P_IN1_DQ
L1:ISI-BS_ST1_BLND_RZ_T240_CUR_IN1_DQ
L1:ISI-ETMX_ST1_BLND_Y_T240_CUR_IN1_DQ
L1:ISI-GND_STS_ETMY_X_DQ
L1:ISI-GND_STS_ETMY_Y_DQ
L1:ISI-HAM6_BLND_GS13RX_IN1_DQ
L1:ISI-HAM6_BLND_GS13RY_IN1_DQ
L1:ISI-HAM6_BLND_GS13Y_IN1_DQ
L1:ISI-ITMX_ST1_BLND_Y_T240_CUR_IN1_DQ
L1:ISI-ITMX_ST2_BLND_RZ_GS13_CUR_IN1_DQ
L1:OMC-LSC_DITHER_OUT_DQ
L1:OMC-PZT1_MON_AC_OUT_DQ
L1:OMC-PZT2_MON_AC_OUT_DQ
L1:PEM-CS_ACC_HAM4_SR2_X_DQ
L1:PEM-CS_TILT_LVEA_VERTEX_Y_DQ
L1:PEM-EX_ACC_ISCTEX_TRANS_Y_DQ
L1:PEM-EX_MAINSMON_EBAY_3_DQ
L1:PEM-EX_MAINSMON_EBAY_QUAD_SUM_DQ
L1:PEM-EX_SEIS_VEA_FLOOR_X_DQ
L1:PEM-EX_TEMP_BSC4_ETMX_DQ
L1:PEM-EY_ACC_BSC5_ETMY_Y_DQ
L1:SUS-ETMX_L1_WIT_Y_DQ
L1:SUS-ETMX_M0_ISIWIT_Y_DQ
L1:SUS-ETMY_M0_DAMP_V_IN1_DQ

L1:SUS-ETMY_M0_DAMP_Y_IN1_DQ
L1:SUS-ITMX_L2_WIT_Y_DQ
L1:SUS-MC1_M2_WIT_L_DQ
L1:SUS-MC2_M1_DAMP_V_IN1_DQ
L1:SUS-MC2_M1_DAMP_Y_IN1_DQ
L1:SUS-MC2_M3_WIT_P_DQ
L1:SUS-MC3_M2_WIT_Y_DQ
L1:SUS-OMC_M1_ISIWIT_P_DQ
L1:SUS-OMC_M1_ISIWIT_R_DQ
L1:SUS-OMC_M1_ISIWIT_T_DQ
L1:SUS-PR2_M1_DAMP_V_IN1_DQ
L1:SUS-PR3_M1_DAMP_T_IN1_DQ
L1:SUS-PRM_M1_DAMP_L_IN1_DQ
L1:SUS-PRM_M1_ISIWIT_Y_DQ
L1:SUS-SR2_M1_DAMP_R_IN1_DQ
L1:SUS-SR2_M2_WIT_P_DQ
L1:SUS-SR3_M3_OPLEV_SUM_OUT_DQ
L1:SUS-SRM_M2_WIT_L_DQ
L1:SUS-SRM_M2_WIT_P_DQ

H1:PEM-MY_SEIS_VEA_FLOOR_X_DQ

Week 4

L1: ISI-ETMY_ST1_BLND_Y_T240_CUR_IN1_DQ
L1: ISI-GND_STS_ETMX_Y_DQ
L1: LSC-MICH_OUT_DQ
L1: OMC-LSC_DITHER_OUT_DQ
L1: OMC-PZT1_MON_AC_OUT_DQ
L1: OMC-PZT2_MON_AC_OUT_DQ
L1: PEM-CS_ACC_BEAMTUBE_YMAN_X_DQ
L1: PEM-CS_ACC_BSC1_ITMY_X_DQ
L1: PEM-CS_ACC_BSC3_ITMX_X_DQ
L1: PEM-CS_ACC_BSC3_ITMX_Y_DQ
L1: PEM-CS_ACC_OPLEV_ITMY_X_DQ
L1: PEM-CS_MAG_EBAY_SUSRACK_X_DQ
L1: PEM-CS_MIC_LVEA_YMANSPool_DQ
L1: PEM-CS_TILT_LVEA_VERTEX_Y_DQ
L1: PEM-EX_ACC_ISCTEX_TRANS_Y_DQ
L1: PEM-EX_SEIS_VEA_FLOOR_X_DQ
L1: PEM-EY_ACC_ISCTEY_TRANS_X_DQ
L1: PEM-EY_ACC_OPLEV_ETMY_X_DQ
L1: PEM-EY_TILT_VEA_FLOOR_T_DQ
L1: SUS-ETMX_L3_OPLEV_YAW_OUT_DQ
L1: SUS-ETMY_L3_OPLEV_PIT_OUT_DQ
L1: SUS-ETMY_L3_OPLEV_YAW_OUT_DQ
L1: SUS-ITMX_L3_OPLEV_PIT_OUT_DQ
L1: SUS-ITMY_L3_OPLEV_PIT_OUT_DQ
L1: SUS-ITMY_L3_OPLEV_YAW_OUT_DQ
L1: SUS-ITMY_M0_ISIWIT_L_DQ
L1: SUS-ITMY_M0_ISIWIT_P_DQ
L1: SUS-ITMY_M0_ISIWIT_R_DQ
L1: SUS-ITMY_M0_ISIWIT_T_DQ
L1: SUS-ITMY_M0_ISIWIT_V_DQ
L1: SUS-ITMY_M0_ISIWIT_Y_DQ
L1: SUS-SR3_M3_OPLEV_SUM_OUT_DQ

H1: PEM-MY_SEIS_VEA_FLOOR_X_DQ

Week 5

(None from H1)

L1:ASC-AS_B_RF45_I_PIT_OUT_DQ
L1:ASC-REFL_B_DC_SUM_OUT_DQ
L1:ASC-REFL_B_RF45_Q_PIT_OUT_DQ
L1:ASC-REFL_B_RF9_I_YAW_OUT_DQ
L1:HPI-ETMX_BLND_L4C_RZ_IN1_DQ
L1:IMC-IM4_TRANS_SUM_OUT_DQ
L1:IMC-REFL_DC_OUT_DQ
L1:ISI-ETMX_ST2_BLND_RY_GS13_CUR_IN1_DQ
L1:ISI-ETMY_ST2_BLND_X_GS13_CUR_IN1_DQ
L1:ISI-HAM2_BLND_GS13Y_IN1_DQ
L1:ISI-HAM4_BLND_GS13RX_IN1_DQ
L1:ISI-HAM5_BLND_GS13RX_IN1_DQ
L1:ISI-HAM5_BLND_GS13RZ_IN1_DQ
L1:ISI-ITMY_ST1_BLND_Z_T240_CUR_IN1_DQ
L1:LSC-REFL_A_LF_OUT_DQ
L1:OMC-LSC_DITHER_OUT_DQ
L1:OMC-PZT1_MON_AC_OUT_DQ
L1:OMC-PZT2_MON_AC_OUT_DQ
L1:SUS-ETMX_M0_ISIWIT_P_DQ
L1:SUS-ETMY_M0_DAMP_L_IN1_DQ
L1:SUS-ETMY_M0_ISIWIT_V_DQ
L1:SUS-ITMX_L1_WIT_Y_DQ
L1:SUS-ITMX_L3_OPLEV_SUM_OUT_DQ
L1:SUS-ITMX_M0_DAMP_L_IN1_DQ
L1:SUS-ITMY_L2_WIT_L_DQ
L1:SUS-MC3_M3_WIT_L_DQ
L1:SUS-PR3_M1_DAMP_V_IN1_DQ
L1:SUS-PRM_M1_DAMP_Y_IN1_DQ
L1:SUS-SR2_M1_ISIWIT_P_DQ
L1:SUS-SR3_M1_ISIWIT_L_DQ
L1:SUS-SR3_M1_ISIWIT_P_DQ
L1:SUS-SR3_M1_ISIWIT_Y_DQ
L1:SUS-SR3_M2_WIT_L_DQ

Week 6

L1: ASC-AS_A_RF45_Q_PIT_OUT_DQ.png
L1: ASC-AS_B_RF36_Q_PIT_OUT_DQ.png
L1: ASC-REFL_A_RF45_Q_YAW_OUT_DQ.png
L1: HPI-HAM3_BLND_L4C_RY_IN1_DQ.png
L1: HPI-HAM3_BLND_L4C_X_IN1_DQ.png
L1: HPI-HAM3_BLND_L4C_Y_IN1_DQ.png
L1: HPI-HAM5_BLND_L4C_RX_IN1_DQ.png
L1: HPI-HAM6_BLND_L4C_RZ_IN1_DQ.png
L1: HPI-HAM6_BLND_L4C_Z_IN1_DQ.png
L1: HPI-ITMX_BLND_L4C_RX_IN1_DQ.png
L1: HPI-ITMY_BLND_L4C_RX_IN1_DQ.png
L1: HPI-ITMY_BLND_L4C_Y_IN1_DQ.png
L1: IMC-MC1_YAW_OUT_DQ.png
L1: IMC-MC2_TRANS_SUM_OUT_DQ.png
L1: IMC-WFS_A_I_YAW_OUT_DQ.png
L1: IMC-WFS_A_Q_PIT_OUT_DQ.png
L1: IMC-WFS_B_I_PIT_OUT_DQ.png
L1: ISI-BS_ST1_BLND_RX_T240_CUR_IN1_DQ.png
L1: ISI-BS_ST1_BLND_Z_T240_CUR_IN1_DQ.png
L1: ISI-BS_ST2_BLND_Y_GS13_CUR_IN1_DQ.png
L1: ISI-ETMX_ST1_BLND_Z_T240_CUR_IN1_DQ.png
L1: ISI-ETMX_ST2_BLND_Y_GS13_CUR_IN1_DQ.png
L1: ISI-ETMY_ST1_BLND_X_T240_CUR_IN1_DQ.png
L1: ISI-GND_STS_ETMX_X_DQ.png
L1: ISI-HAM3_BLND_GS13RX_IN1_DQ.png
L1: ISI-HAM3_BLND_GS13RY_IN1_DQ.png
L1: ISI-HAM5_BLND_GS13Y_IN1_DQ.png
L1: ISI-HAM6_BLND_GS13RY_IN1_DQ.png
L1: ISI-ITMX_ST1_BLND_RX_T240_CUR_IN1_DQ.png
L1: ISI-ITMX_ST2_BLND_Z_GS13_CUR_IN1_DQ.png
L1: OMC-LSC_DITHER_OUT_DQ.png
L1: OMC-PZT1_MON_AC_OUT_DQ.png
L1: OMC-PZT2_MON_AC_OUT_DQ.png
L1: PEM-CS_ACC_BSC3_ITMX_X_DQ.png
L1: PEM-CS_ACC_BSC3_ITMX_Y_DQ.png

L1: PEM-CS_ACC_HAM2_PRM_Z_DQ.png
L1: PEM-CS_ACC_IOT1_IMC_Z_DQ.png
L1: PEM-EX_MAG_VEA_FLOOR_Y_DQ.png
L1: SUS-BS_M1_DAMP_P_IN1_DQ.png
L1: SUS-BS_M2_WIT_L_DQ.png
L1: SUS-ETMX_M0_DAMP_L_IN1_DQ.png
L1: SUS-ITMX_M0_DAMP_R_IN1_DQ.png
L1: SUS-ITMX_M0_DAMP_V_IN1_DQ.png
L1: SUS-MC1_M1_DAMP_Y_IN1_DQ.png
L1: SUS-MC1_M3_WIT_L_DQ.png
L1: SUS-MC2_M1_ISIWIT_P_DQ.png
L1: SUS-MC2_M1_ISIWIT_V_DQ.png
L1: SUS-MC2_M2_WIT_L_DQ.png
L1: SUS-MC2_M2_WIT_Y_DQ.png
L1: SUS-MC3_M1_DAMP_L_IN1_DQ.png
L1: SUS-OMC_M1_DAMP_V_IN1_DQ.png
L1: SUS-PR2_M1_DAMP_R_IN1_DQ.png
L1: SUS-PR2_M1_DAMP_V_IN1_DQ.png
L1: SUS-PR2_M2_WIT_L_DQ.png
L1: SUS-PR2_M2_WIT_Y_DQ.png
L1: SUS-PR3_M1_DAMP_V_IN1_DQ.png
L1: SUS-PRM_M1_ISIWIT_L_DQ.png
L1: SUS-PRM_M1_ISIWIT_P_DQ.png
L1: SUS-SR2_M1_ISIWIT_T_DQ.png
L1: SUS-SR3_M1_DAMP_P_IN1_DQ.png
L1: SUS-SR3_M1_DAMP_T_IN1_DQ.png
L1: SUS-SR3_M3_OPLEV_SUM_OUT_DQ.png
L1: SUS-SRM_M1_DAMP_P_IN1_DQ.png
L1: SUS-SRM_M1_DAMP_T_IN1_DQ.png
L1: SUS-SRM_M3_WIT_P_DQ.png
L1: TCS-ITMX_CO2_ISS_OUT_AC_OUT_DQ.png

Week 6 (cont.)

H1: ISI-ITMX_ST1_BLND_RZ_T240_CUR_IN1_DQ.png
H1: ISI-ITMX_ST2_BLND_RY_GS13_CUR_IN1_DQ.png
H1: ISI-ITMX_ST2_BLND_X_GS13_CUR_IN1_DQ.png
H1: PEM-CS_ACC_BEAMTUBE_YMAN_X_DQ.png
H1: PEM-CS_ACC_BSC1_ITMY_X_DQ.png
H1: PEM-CS_ACC_PSL_TABLE1_Y_DQ.png
H1: PEM-MX_SEIS_VEA_FLOOR_X_DQ.png
H1: PEM-MX_SEIS_VEA_FLOOR_Y_DQ.png
H1: SUS-ITMX_M0_DAMP_R_IN1_DQ.png

Week 7

L1:ASC-AS_B_RF45_I_PIT_OUT_DQ
L1:ISI-HAM2_BLND_GS13RZ_IN1_DQ
L1:ISI-ITMY_ST1_BLND_RY_T240_CUR_IN1_DQ
L1:OMC-PZT1_MON_AC_OUT_DQ
L1:OMC-PZT2_MON_AC_OUT_DQ
L1:PEM-CS_MAG_EBAY_SUSRACK_Z_DQ
L1:SUS-ITMY_M0_ISIWIT_L_DQ
L1:SUS-ITMY_M0_ISIWIT_P_DQ
L1:SUS-ITMY_M0_ISIWIT_Y_DQ
L1:SUS-PRM_M1_ISIWIT_Y_DQ
L1:SUS-SR2_M1_DAMP_L_IN1_DQ

H1:ASC-AS_B_DC_YAW_OUT_DQ
H1:ASC-REFL_B_DC_PIT_OUT_DQ
H1:ASC-REFL_B_RF45_I_YAW_OUT_DQ
H1:ASC-X_TR_A_PIT_OUT_DQ
H1:HPI-ITMX_BLND_L4C_Z_IN1_DQ
H1:IMC-REFL_DC_OUT_DQ
H1:IMC-WFS_A_DC_SUM_OUT_DQ
H1:ISI-BS_ST1_BLND_RZ_T240_CUR_IN1_DQ
H1:ISI-ETMY_ST2_BLND_RZ_GS13_CUR_IN1_DQ
H1:ISI-HAM5_BLND_GS13Z_IN1_DQ
H1:ISI-ITMX_ST2_BLND_RY_GS13_CUR_IN1_DQ
H1:PEM-CS_ACC_BSC2_BS_Y_DQ
H1:PEM-EY_ACC_ISCTEY_TRANS_X_DQ
H1:PEM-EY_ACC_VEA_FLOOR_Z_DQ
H1:PEM-EY_MAG_EBAY_SEIRACK_Y_DQ
H1:PEM-MX_SEIS_VEA_FLOOR_X_DQ
H1:PEM-MX_SEIS_VEA_FLOOR_Y_DQ
H1:PEM-MY_SEIS_VEA_FLOOR_X_DQ
H1:PEM-MY_SEIS_VEA_FLOOR_Y_DQ
H1:SUS-ETMY_M0_DAMP_V_IN1_DQ
H1:SUS-MC1_M1_DAMP_Y_IN1_DQ
H1:SUS-PRM_M1_DAMP_R_IN1_DQ

Week 8

L1:ASC-AS_A_RF45_I_YAW_OUT_DQ
L1:ASC-AS_B_RF36_Q_PIT_OUT_DQ
L1:ASC-AS_B_RF45_I_PIT_OUT_DQ
L1:ASC-REFL_B_RF45_I_YAW_OUT_DQ
L1:ASC-REFL_B_RF9_I_PIT_OUT_DQ
L1:HPI-ITMY_BLND_L4C_Y_IN1_DQ
L1:IMC-IM4_TRANS_SUM_OUT_DQ
L1:ISI-ETMY_ST2_BLND_RZ_GS13_CUR_IN1_DQ
L1:ISI-GND_STS_ETMY_Y_DQ
L1:ISI-ITMY_ST1_BLND_RX_T240_CUR_IN1_DQ
L1:LSC-REFL_A_LF_OUT_DQ
L1:OMC-ASC_POS_Y_OUT_DQ
L1:OMC-LSC_DITHER_OUT_DQ
L1:OMC-PZT1_MON_AC_OUT_DQ
L1:OMC-PZT2_MON_AC_OUT_DQ
L1:PEM-EX_MAINSMON_EBAY_3_DQ
L1:PEM-EX_MAINSMON_EBAY_QUAD_SUM_DQ
L1:SUS-ETMX_L1_WIT_L_DQ
L1:SUS-OMC_M1_ISIWIT_L_DQ
L1:SUS-PR3_M2_WIT_L_DQ
L1:SUS-SRM_M3_WIT_P_DQ

H1:HPI-ETMY_BLND_L4C_Z_IN1_DQ
H1:IMC-DOF_1_P_IN1_DQ
H1:IMC-DOF_2_Y_IN1_DQ
H1:IMC-DOF_3_P_IN1_DQ
H1:IMC-DOF_3_Y_IN1_DQ
H1:IMC-IM4_TRANS_PIT_OUT_DQ
H1:IMC-IM4_TRANS_SUM_OUT_DQ
H1:IMC-MC2_TRANS_PIT_OUT_DQ
H1:IMC-MC2_TRANS_SUM_OUT_DQ
H1:IMC-MC2_TRANS_YAW_OUT_DQ
H1:PEM-CS_ACC_PSL_TABLE1_Z_DQ
H1:PEM-EX_MAINSMON_EBAY_1_DQ
H1:PEM-EY_MAINSMON_EBAY_1_DQ
H1:SUS-ITMX_L2_WIT_Y_DQ

Week 9

L1:ALS-C_TRY_A_LF_OUT_DQ
L1:ASC-AS_B_RF36_Q_PIT_OUT_DQ
L1:ASC-AS_B_RF45_I_PIT_OUT_DQ
L1:HPI-ITMY_BLND_L4C_Y_IN1_DQ
L1:IMC-DOF_1_Y_IN1_DQ
L1:IMC-MC2_TRANS_YAW_OUT_DQ
L1:ISI-HAM3_BLND_GS13RZ_IN1_DQ
L1:ISI-ITMX_ST2_BLND_Y_GS13_CUR_IN1_DQ
L1:ISI-ITMY_ST1_BLND_RY_T240_CUR_IN1_DQ
L1:OMC-LSC_DITHER_OUT_DQ
L1:OMC-PZT1_MON_AC_OUT_DQ
L1:OMC-PZT2_MON_AC_OUT_DQ
L1:PEM-CS_ACC_HAM5_SRM_X_DQ
L1:PEM-EX_ACC_ISCTEX_TRANS_Y_DQ
L1:PEM-EX_MAG_EBAY_SUSRACK_Y_DQ
L1:PEM-EX_MAINSMON_EBAY_3_DQ
L1:PEM-EX_MAINSMON_EBAY_QUAD_SUM_DQ
L1:PEM-EY_ACC_OPLEV_ETMY_X_DQ
L1:SUS-MC2_M1_ISIWIT_Y_DQ
L1:SUS-OMC_M1_DAMP_P_IN1_DQ
L1:SUS-SR3_M1_DAMP_R_IN1_DQ
L1:SUS-SRM_M2_WIT_P_DQ

Week 9 (cont.)

H1:IMC-DOF_3_P_IN1_DQ
H1:IMC-MC2_PIT_OUT_DQ
H1:IMC-MC2_TRANS_PIT_OUT_DQ
H1:IMC-MC2_TRANS_SUM_OUT_DQ
H1:IMC-MC2_YAW_OUT_DQ
H1:IMC-PWR_IN_OUT_DQ
H1:IMC-WFS_B_Q_YAW_OUT_DQ
H1:ISI-BS_ST1_BLND_RZ_T240_CUR_IN1_DQ
H1:ISI-ETMX_ST1_BLND_Z_T240_CUR_IN1_DQ
H1:ISI-ETMX_ST2_BLND_RX_GS13_CUR_IN1_DQ
H1:ISI-ETMX_ST2_BLND_Y_GS13_CUR_IN1_DQ
H1:ISI-HAM2_BLND_GS13X_IN1_DQ
H1:ISI-HAM5_BLND_GS13X_IN1_DQ
H1:ISI-ITMX_ST1_BLND_X_T240_CUR_IN1_DQ
H1:ISI-ITMX_ST2_BLND_RX_GS13_CUR_IN1_DQ
H1:ISI-ITMY_ST1_BLND_RY_T240_CUR_IN1_DQ
H1:PEM-CS_MAG_LVEA_VERTEX_X_DQ
H1:PEM-CS_MIC_LVEA_VERTEX_DQ
H1:PEM-CS_SEIS_LVEA_VERTEX_X_DQ
H1:PEM-EX_ACC_BSC9_ETMX_Y_DQ
H1:PEM-EY_MAG_EBAY_SEIRACK_Y_DQ
H1:PEM-EY_MAG_EBAY_SEIRACK_Z_DQ
H1:PEM-EY_MAINSMON_EBAY_3_DQ
H1:PEM-MX_SEIS_VEA_FLOOR_X_DQ
H1:PEM-MX_SEIS_VEA_FLOOR_Y_DQ
H1:PEM-MX_SEIS_VEA_FLOOR_Z_DQ
H1:SUS-BS_M1_DAMP_L_IN1_DQ
H1:SUS-ETMX_L2_WIT_P_DQ
H1:SUS-ETMX_M0_DAMP_L_IN1_DQ
H1:SUS-ETMX_M0_DAMP_V_IN1_DQ
H1:SUS-ETMY_L1_WIT_L_DQ
H1:SUS-ETMY_L1_WIT_Y_DQ
H1:SUS-ETMY_L3_OPLEV_YAW_OUT_DQ
H1:SUS-ETMY_M0_DAMP_R_IN1_DQ

H1:SUS-ITMX_L1_WIT_L_DQ
H1:SUS-ITMX_M0_DAMP_L_IN1_DQ
H1:SUS-ITMX_M0_DAMP_R_IN1_DQ
H1:SUS-ITMX_M0_DAMP_V_IN1_DQ
H1:SUS-ITMX_M0_DAMP_Y_IN1_DQ
H1:SUS-ITMY_L1_WIT_L_DQ
H1:SUS-ITMY_L1_WIT_P_DQ
H1:SUS-ITMY_L1_WIT_Y_DQ
H1:SUS-ITMY_L2_WIT_L_DQ
H1:SUS-ITMY_M0_DAMP_T_IN1_DQ
H1:SUS-MC1_M1_DAMP_T_IN1_DQ
H1:SUS-MC1_M3_WIT_P_DQ
H1:SUS-MC2_M1_DAMP_R_IN1_DQ
H1:SUS-MC3_M1_DAMP_P_IN1_DQ
H1:SUS-MC3_M1_DAMP_V_IN1_DQ
H1:SUS-MC3_M2_WIT_L_DQ
H1:SUS-MC3_M3_WIT_P_DQ
H1:SUS-PR2_M3_WIT_P_DQ
H1:SUS-PR3_M1_DAMP_V_IN1_DQ

Week 10

L1:ASC-AS_B_RF45_I_PIT_OUT_DQ
L1:ASC-REFL_A_RF45_Q_PIT_OUT_DQ
L1:ASC-REFL_B_RF45_Q_PIT_OUT_DQ
L1:ASC-REFL_B_RF45_Q_YAW_OUT_DQ
L1:HPI-HAM2_BLND_L4C_Y_IN1_DQ
L1:HPI-HAM3_BLND_L4C_RX_IN1_DQ
L1:HPI-HAM4_BLND_L4C_Z_IN1_DQ
L1:HPI-HAM5_BLND_L4C_RX_IN1_DQ
L1:HPI-HAM5_BLND_L4C_RY_IN1_DQ
L1:HPI-HAM5_BLND_L4C_RZ_IN1_DQ
L1:HPI-HAM5_BLND_L4C_X_IN1_DQ
L1:HPI-HAM6_BLND_L4C_X_IN1_DQ
L1:HPI-HAM6_BLND_L4C_Y_IN1_DQ
L1:IMC-MC2_PIT_OUT_DQ
L1:IMC-MC2_YAW_OUT_DQ
L1:IMC-WFS_A_Q_PIT_OUT_DQ
L1:IMC-WFS_B_DC_SUM_OUT_DQ
L1:ISI-BS_ST1_BLND_RZ_T240_CUR_IN1_DQ
L1:ISI-BS_ST2_BLND_X_GS13_CUR_IN1_DQ
L1:ISI-BS_ST2_BLND_Z_GS13_CUR_IN1_DQ
L1:ISI-ETMX_ST1_BLND_RX_T240_CUR_IN1_DQ
L1:ISI-ETMX_ST1_BLND_Y_T240_CUR_IN1_DQ
L1:ISI-ETMX_ST2_BLND_Z_GS13_CUR_IN1_DQ
L1:ISI-ETMY_ST1_BLND_Y_T240_CUR_IN1_DQ
L1:ISI-ETMY_ST2_BLND_X_GS13_CUR_IN1_DQ
L1:ISI-GND_STS_ITMY_X_DQ
L1:ISI-GND_STS_ITMY_Y_DQ
L1:ISI-HAM2_BLND_GS13RX_IN1_DQ
L1:ISI-HAM3_BLND_GS13RZ_IN1_DQ
L1:ISI-HAM3_BLND_GS13Z_IN1_DQ
L1:ISI-HAM6_BLND_GS13Z_IN1_DQ
L1:ISI-ITMX_ST1_BLND_RX_T240_CUR_IN1_DQ
L1:ISI-ITMX_ST1_BLND_RY_T240_CUR_IN1_DQ
L1:ISI-ITMX_ST1_BLND_X_T240_CUR_IN1_DQ
L1:ISI-ITMX_ST2_BLND_RY_GS13_CUR_IN1_DQ

L1:LSC-MICH_IN1_DQ
L1:LSC-MICH_OUT_DQ
L1:LSC-POP_A_LF_OUT_DQ
L1:OMC-ASC_ANG_X_OUT_DQ
L1:OMC-ASC_POS_X_OUT_DQ
L1:OMC-LSC_DITHER_OUT_DQ
L1:OMC-PZT1_MON_AC_OUT_DQ
L1:OMC-PZT2_MON_AC_OUT_DQ
L1:PEM-CS_ACC_HAM2_PRM_Z_DQ
L1:PEM-CS_ACC_LVEAFLOOR_HAM1_Z_DQ
L1:PEM-CS_ACC_OPLEV_ITMY_X_DQ
L1:PEM-CS_LOWFMIC_LVEA_VERTEX_DQ
L1:PEM-CS_MAG_EBAY_SUSRACK_Z_DQ
L1:PEM-CS_MAG_LVEA_VERTEX_QUAD_SUM_DQ
L1:PEM-CS_MAG_LVEA_VERTEX_Y_DQ
L1:PEM-CS_MIC_PSL_CENTER_DQ
L1:PEM-CS_SEIS_LVEA_VERTEX_QUAD_SUM_DQ
L1:PEM-CS_SEIS_LVEA_VERTEX_Y_DQ
L1:PEM-EX_ACC_VEA_FLOOR_Z_DQ
L1:PEM-EX_LOWFMIC_VEA_FLOOR_DQ
L1:PEM-EX_MAG_EBAY_SUSRACK_QUAD_SUM_DQ
L1:PEM-EX_MAG_VEA_FLOOR_Z_DQ
L1:PEM-EX_MAINSMON_EBAY_3_DQ
L1:PEM-EX_MAINSMON_EBAY_QUAD_SUM_DQ
L1:PEM-EX_MIC_VEA_PLUSX_DQ
L1:PEM-EX_TEMP_BSC4_ETMX_DQ
L1:PEM-EY_ACC_ISCTEY_TRANS_X_DQ
L1:PEM-EY_MAG_VEA_FLOOR_X_DQ
L1:SUS-ETMX_M0_DAMP_T_IN1_DQ
L1:SUS-ETMX_M0_DAMP_V_IN1_DQ
L1:SUS-ETMY_L1_WIT_Y_DQ
L1:SUS-ETMY_M0_DAMP_V_IN1_DQ
L1:SUS-ITMX_L1_WIT_P_DQ
L1:SUS-ITMX_L2_WIT_Y_DQ
L1:SUS-ITMX_M0_DAMP_V_IN1_DQ

Week 10 (cont.)

L1:SUS-ITMY_L2_WIT_L_DQ
L1:SUS-ITMY_L3_OPLEV_PIT_OUT_DQ
L1:SUS-ITMY_L3_OPLEV_YAW_OUT_DQ
L1:SUS-ITMY_M0_DAMP_Y_IN1_DQ
L1:SUS-ITMY_M0_ISIWIT_L_DQ
L1:SUS-ITMY_M0_ISIWIT_P_DQ
L1:SUS-ITMY_M0_ISIWIT_R_DQ
L1:SUS-ITMY_M0_ISIWIT_T_DQ
L1:SUS-ITMY_M0_ISIWIT_V_DQ.pn
L1:SUS-ITMY_M0_ISIWIT_Y_DQ
L1:SUS-MC1_M1_DAMP_R_IN1_DQ
L1:SUS-MC1_M2_WIT_L_DQ
L1:SUS-MC1_M3_WIT_Y_DQ
L1:SUS-MC2_M1_DAMP_L_IN1_DQ
L1:SUS-MC2_M1_DAMP_P_IN1_DQ
L1:SUS-MC2_M1_DAMP_Y_IN1_DQ
L1:SUS-MC2_M1_ISIWIT_L_DQ
L1:SUS-MC3_M1_DAMP_T_IN1_DQ
L1:SUS-OMC_M1_ISIWIT_L_DQ
L1:SUS-PR3_M1_DAMP_Y_IN1_DQ
L1:SUS-PR3_M2_WIT_P_DQ
L1:SUS-PRM_M1_ISIWIT_V_DQ
L1:SUS-SR2_M2_WIT_L_DQ
L1:SUS-SR3_M1_DAMP_Y_IN1_DQ
L1:SUS-SR3_M3_OPLEV_SUM_OUT_DQ

H1:ASC-AS_A_RF45_I_YAW_OUT_DQ
H1:HPI-HAM5_BLND_L4C_RZ_IN1_DQ
H1:HPI-HAM6_BLND_L4C_Y_IN1_DQ
H1:HPI-ITMY_BLND_L4C_RZ_IN1_DQ
H1:IMC-DOF_1_Y_IN1_DQ
H1:IMC-DOF_4_Y_IN1_DQ
H1:IMC-PZT_YAW_OUT_DQ
H1:IMC-WFS_A_I_YAW_OUT_DQ
H1:IMC-WFS_B_DC_YAW_OUT_DQ
H1:IMC-WFS_B_I_YAW_OUT_DQ
H1:IMC-WFS_B_Q_YAW_OUT_DQ
H1:ISI-BS_ST2_BLND_RY_GS13_CUR_IN1_DQ

H1:ISI-ETMX_ST1_BLND_RX_T240_CUR_IN1_DQ
H1:ISI-ETMX_ST1_BLND_RY_T240_CUR_IN1_DQ
H1:ISI-ETMX_ST1_BLND_RZ_T240_CUR_IN1_DQ
H1:ISI-ETMX_ST2_BLND_X_GS13_CUR_IN1_DQ
H1:ISI-ETMY_ST1_BLND_RX_T240_CUR_IN1_DQ
H1:ISI-ETMY_ST1_BLND_RZ_T240_CUR_IN1_DQ
H1:ISI-ETMY_ST2_BLND_RX_GS13_CUR_IN1_DQ
H1:ISI-ETMY_ST2_BLND_Y_GS13_CUR_IN1_DQ
H1:ISI-GND_STS_ITMY_X_DQ
H1:ISI-HAM2_BLND_GS13RZ_IN1_DQ
H1:ISI-HAM3_BLND_GS13RZ_IN1_DQ
H1:PEM-CS_ACC_BSC1_ITMY_X_DQ
H1:PEM-CS_ACC_BSC1_ITMY_Y_DQ
H1:PEM-CS_ACC_EBAY_FLOOR_Z_DQ
H1:PEM-CS_ACC_HAM3_PR2_Y_DQ
H1:PEM-CS_ACC_LVEAFLOOR_BS_X_DQ
H1:PEM-CS_ACC_OPLEV_ITMY_X_DQ
H1:PEM-CS_MAINSMON_EBAY_1_DQ
H1:PEM-CS_MAINSMON_EBAY_2_DQ
H1:PEM-CS_MIC_LVEA_BS_DQ
H1:PEM-EX_MIC_VEA_MINUSX_DQ
H1:PEM-EY_MAINSMON_EBAY_1_DQ
H1:PSL-OSC_PD_AMP_DC_OUT_DQ
H1:SUS-BS_M1_DAMP_L_IN1_DQ
H1:SUS-BS_M1_DAMP_P_IN1_DQ
H1:SUS-BS_M1_DAMP_V_IN1_DQ
H1:SUS-ETMX_L3_OPLEV_PIT_OUT_DQ
H1:SUS-ETMX_M0_DAMP_R_IN1_DQ
H1:SUS-ETMY_L1_WIT_Y_DQ
H1:SUS-ETMY_L3_OPLEV_YAW_OUT_DQ
H1:SUS-ITMX_L2_WIT_P_DQ
H1:SUS-ITMX_M0_DAMP_R_IN1_DQ
H1:SUS-ITMX_M0_DAMP_T_IN1_DQ
H1:SUS-MC2_M2_WIT_L_DQ
H1:SUS-MC2_M2_WIT_P_DQ
H1:SUS-PR2_M2_WIT_L_DQ
H1:SUS-PRM_M1_DAMP_T_IN1_DQ

Week 11

L1:ASC-AS_B_RF45_I_PIT_OUT_DQ
L1:ASC-REFL_A_RF9_I_PIT_OUT_DQ
L1:ASC-REFL_A_RF9_I_YAW_OUT_DQ
L1:HPI-ITMY_BLND_L4C_RY_IN1_DQ
L1:HPI-ITMY_BLND_L4C_Y_IN1_DQ
L1:IMC-DOF_1_P_IN1_DQ
L1:IMC-DOF_2_P_IN1_DQ
L1:IMC-DOF_4_Y_IN1_DQ
L1:IMC-F_OUT_DQ
L1:IMC-L_OUT_DQ
L1:IMC-MC2_TRANS_PIT_OUT_DQ
L1:IMC-MC2_YAW_OUT_DQ
L1:IMC-PZT_YAW_OUT_DQ
L1:IMC-WFS_A_I_YAW_OUT_DQ
L1:IMC-WFS_B_Q_PIT_OUT_DQ
L1:ISI-HAM4_BLND_GS13X_IN1_DQ
L1:ISI-HAM4_BLND_GS13Z_IN1_DQ
L1:ISI-ITMX_ST1_BLND_Y_T240_CUR_IN1_DQ
L1:ISI-ITMY_ST1_BLND_RX_T240_CUR_IN1_DQ
L1:ISI-ITMY_ST1_BLND_RY_T240_CUR_IN1_DQ
L1:ISI-ITMY_ST1_BLND_X_T240_CUR_IN1_DQ
L1:LSC-SRCL_IN1_DQ
L1:OMC-LSC_DITHER_OUT_DQ
L1:OMC-PZT1_MON_AC_OUT_DQ
L1:OMC-PZT2_MON_AC_OUT_DQ
L1:PEM-CS_ACC_BEAMTUBE_YMAN_X_DQ
L1:PEM-CS_MAG_LVEA_OUTPUTOPTICS_QUAD_SUM_DQ
L1:PEM-CS_MIC_LVEA_OUTPUTOPTICS_DQ
L1:PEM-CS_MIC_LVEA_YMANSPPOOL_DQ
L1:PEM-EX_MAG_EBAY_SUSRACK_Z_DQ
L1:PEM-EX_MAINSMON_EBAY_3_DQ
L1:PEM-EX_MAINSMON_EBAY_QUAD_SUM_DQ
L1:PEM-EY_MAINSMON_EBAY_QUAD_SUM_DQ
L1:SUS-ETMX_L1_WIT_P_DQ
L1:SUS-ITMY_L1_WIT_P_DQ

L1:SUS-ITMY_M0_DAMP_T_IN1_DQ
L1:SUS-MC3_M2_WIT_P_DQ
L1:SUS-PRM_M1_ISIWIT_V_DQ
L1:SUS-PRM_M2_WIT_P_DQ
L1:SUS-SR2_M1_DAMP_P_IN1_DQ
L1:SUS-SR2_M1_ISIWIT_T_DQ

H1:ASC-REFL_A_DC_PIT_OUT_DQ
H1:ASC-REFL_A_DC_SUM_OUT_DQ
H1:IMC-DOF_3_P_IN1_DQ
H1:IMC-MC2_TRANS_PIT_OUT_DQ
H1:IMC-MC2_TRANS_SUM_OUT_DQ
H1:IMC-MC2_YAW_OUT_DQ
H1:IMC-PZT_PIT_OUT_DQ
H1:PEM-CS_ACC_BEAMTUBE_XMAN_Y_DQ
H1:PEM-CS_MIC_LVEA_YMANSPPOOL_DQ
H1:PEM-EY_ACC_EBAY_FLOOR_Z_DQ
H1:PEM-EY_ACC_OPLEV_ETMY_X_DQ
H1:PEM-EY_MAG_EBAY_SEIRACK_X_DQ
H1:PEM-EY_MAG_EBAY_SEIRACK_Y_DQ
H1:PEM-EY_MAG_EBAY_SEIRACK_Z_DQ
H1:SUS-ITMY_L1_WIT_L_DQ
H1:SUS-ITMY_L1_WIT_P_DQ
H1:SUS-ITMY_L1_WIT_Y_DQ
H1:SUS-MC3_M1_DAMP_L_IN1_DQ
H1:SUS-PR3_M2_WIT_P_DQ

Week 12

L1:HPI-ETMX_BLND_L4C_RZ_IN1_DQ
L1:HPI-HAM3_BLND_L4C_Y_IN1_DQ
L1:IMC-L_OUT_DQ
L1:ISI-GND_STS_ITMY_Y_DQ
L1:ISI-ITMX_ST2_BLND_RY_GS13_CUR_IN1_DQ
L1:ISI-ITMX_ST2_BLND_X_GS13_CUR_IN1_DQ
L1:PEM-CS_MAG_EBAY_SUSRACK_QUAD_SUM_DQ
L1:PEM-CS_MIC_LVEA_XMANSPOOL_DQ
L1:SUS-ITMX_M0_ISIWIT_L_DQ
L1:SUS-ITMX_M0_ISIWIT_P_DQ
L1:SUS-ITMX_M0_ISIWIT_V_DQ
L1:SUS-SR3_M3_OPLEV_SUM_OUT_DQ

H1:ASC-REFL_A_DC_PIT_OUT_DQ
H1:ASC-REFL_A_DC_SUM_OUT_DQ
H1:IMC-DOF_3_P_IN1_DQ
H1:IMC-MC2_TRANS_PIT_OUT_DQ
H1:IMC-MC2_TRANS_SUM_OUT_DQ
H1:IMC-MC2_YAW_OUT_DQ
H1:IMC-PZT_PIT_OUT_DQ
H1:PEM-CS_ACC_BEAMTUBE_XMAN_Y_DQ
H1:PEM-CS_MIC_LVEA_YMANSPOOL_DQ
H1:PEM-EY_ACC_EBAY_FLOOR_Z_DQ
H1:PEM-EY_ACC_OPLEV_ETMY_X_DQ
H1:PEM-EY_MAG_EBAY_SEIRACK_X_DQ
H1:PEM-EY_MAG_EBAY_SEIRACK_Y_DQ
H1:PEM-EY_MAG_EBAY_SEIRACK_Z_DQ
H1:SUS-ITMY_L1_WIT_L_DQ
H1:SUS-ITMY_L1_WIT_P_DQ
H1:SUS-ITMY_L1_WIT_Y_DQ
H1:SUS-MC3_M1_DAMP_L_IN1_DQ
H1:SUS-PR3_M2_WIT_P_DQ

Week 13

L1:ASC-AS_A_RF36_Q_PIT_OUT_DQ
L1:ASC-AS_A_RF45_Q_YAW_OUT_DQ
L1:ASC-AS_B_RF36_I_PIT_OUT_DQ
L1:ASC-REFL_A_RF45_Q_YAW_OUT_DQ
L1:ASC-REFL_B_RF45_Q_PIT_OUT_DQ
L1:ASC-REFL_B_RF9_I_PIT_OUT_DQ
L1:HPI-ETMX_BLND_L4C_RX_IN1_DQ
L1:HPI-ETMX_BLND_L4C_Z_IN1_DQ
L1:HPI-ETMY_BLND_L4C_RY_IN1_DQ
L1:HPI-ETMY_BLND_L4C_RZ_IN1_DQ
L1:HPI-HAM2_BLND_L4C_RZ_IN1_DQ
L1:HPI-HAM2_BLND_L4C_Y_IN1_DQ
L1:HPI-HAM2_BLND_L4C_Z_IN1_DQ
L1:IMC-DOF_2_P_IN1_DQ
L1:IMC-F_OUT_DQ
L1:IMC-IM4_TRANS_SUM_OUT_DQ
L1:IMC-L_OUT_DQ
L1:IMC-MC2_TRANS_SUM_OUT_DQ
L1:IMC-PZT_PIT_OUT_DQ
L1:IMC-REFL_DC_OUT_DQ
L1:IMC-WFS_A_I_PIT_OUT_DQ
L1:IMC-WFS_A_Q_PIT_OUT_DQ
L1:IMC-WFS_B_I_PIT_OUT_DQ
L1:IMC-WFS_B_I_YAW_OUT_DQ
L1:IMC-WFS_B_Q_PIT_OUT_DQ
L1:IMC-WFS_B_Q_YAW_OUT_DQ
L1:ISI-BS_ST1_BLND_RX_T240_CUR_IN1_DQ
L1:ISI-BS_ST1_BLND_X_T240_CUR_IN1_DQ
L1:ISI-BS_ST1_BLND_Y_T240_CUR_IN1_DQ
L1:ISI-BS_ST2_BLND_RY_GS13_CUR_IN1_DQ
L1:ISI-BS_ST2_BLND_Z_GS13_CUR_IN1_DQ
L1:ISI-ETMX_ST1_BLND_RX_T240_CUR_IN1_DQ
L1:ISI-ETMX_ST1_BLND_RY_T240_CUR_IN1_DQ
L1:ISI-ETMX_ST1_BLND_Y_T240_CUR_IN1_DQ
L1:ISI-ETMY_ST1_BLND_Z_T240_CUR_IN1_DQ

L1:ISI-GND_STS_ETMX_X_DQ
L1:ISI-GND_STS_ETMX_Y_DQ
L1:ISI-HAM4_BLND_GS13Z_IN1_DQ
L1:ISI-HAM5_BLND_GS13X_IN1_DQ
L1:ISI-HAM5_BLND_GS13Z_IN1_DQ
L1:ISI-HAM6_BLND_GS13RX_IN1_DQ
L1:ISI-HAM6_BLND_GS13Y_IN1_DQ
L1:ISI-ITMX_ST1_BLND_RZ_T240_CUR_IN1_DQ
L1:ISI-ITMX_ST1_BLND_Y_T240_CUR_IN1_DQ
L1:OMC-LSC_DITHER_OUT_DQ
L1:OMC-PZT1_MON_AC_OUT_DQ
L1:OMC-PZT2_MON_AC_OUT_DQ
L1:PEM-CS_ACC_BSC1_ITMY_X_DQ
L1:PEM-CS_ACC_BSC1_ITMY_Y_DQ
L1:PEM-CS_ACC_BSC2_BS_Y_DQ
L1:PEM-CS_ACC_BSC3_ITMX_X_DQ
L1:PEM-CS_ACC_HAM2_PRM_Y_DQ
L1:PEM-CS_ACC_IOT1_IMC_X_DQ
L1:PEM-CS_ACC_IOT1_IMC_Y_DQ
L1:PEM-CS_ACC_OPLEV_ITMX_Y_DQ
L1:PEM-CS_ACC_OPLEV_ITMY_X_DQ
L1:PEM-CS_ACC_PSL_TABLE1_Z_DQ
L1:PEM-CS_MAG_EBAY_SUSRACK_QUAD_SUM_DQ
L1:PEM-CS_MIC_LVEA_BS_DQ
L1:PEM-CS_MIC_LVEA_XMANSPool_DQ
L1:PEM-CS_MIC_PSL_CENTER_DQ
L1:PEM-EX_ACC_BSC4_ETMX_X_DQ
L1:PEM-EX_ACC_ISCTEX_TRANS_Y_DQ
L1:PEM-EX_MAINSMON_EBAY_3_DQ
L1:PEM-EX_MAINSMON_EBAY_QUAD_SUM_DQ
L1:PEM-EX_TEMP_BSC4_ETMX_DQ
L1:PEM-EX_TILT_VEA_FLOOR_T_DQ
L1:PEM-EY_ACC_BSC5_ETMY_X_DQ
L1:PEM-EY_MAINSMON_EBAY_2_DQ
L1:PSL-PMC_HV_MON_OUT_DQ

Week 13 (cont.)

L1:SUS-MC2_M1_DAMP_R_IN1_DQ
L1:SUS-MC3_M1_DAMP_R_IN1_DQ
L1:SUS-MC3_M1_DAMP_T_IN1_DQ
L1:SUS-MC3_M1_DAMP_V_IN1_DQ
L1:SUS-MC3_M3_WIT_Y_DQ
L1:SUS-OMC_M1_DAMP_L_IN1_DQ
L1:SUS-PR3_M1_DAMP_L_IN1_DQ
L1:SUS-PR3_M1_DAMP_P_IN1_DQ
L1:SUS-PR3_M1_DAMP_R_IN1_DQ
L1:SUS-PR3_M3_OPLEV_YAW_OUT_DQ
L1:SUS-PRM_M2_WIT_L_DQ
L1:SUS-PRM_M3_WIT_Y_DQ
L1:SUS-SR2_M1_ISIWIT_V_DQ
L1:SUS-SR2_M1_ISIWIT_Y_DQ
L1:SUS-SR3_M1_DAMP_P_IN1_DQ
L1:SUS-SR3_M1_ISIWIT_T_DQ
L1:SUS-SR3_M1_ISIWIT_Y_DQ
L1:SUS-SR3_M2_WIT_P_DQ
L1:SUS-SR3_M3_OPLEV_YAW_OUT_DQ
L1:SUS-SRM_M1_DAMP_Y_IN1_DQ
L1:SUS-SRM_M2_WIT_L_DQ
L1:SUS-SRM_M2_WIT_P_DQ
L1:SUS-SRM_M3_WIT_Y_DQ
L1:PSL-PMC_MIXER_OUT_DQ
L1:SUS-ITMX_L3_OPLEV_PIT_OUT_DQ
L1:SUS-ITMX_L3_OPLEV_YAW_OUT_DQ
L1:SUS-ITMX_M0_DAMP_L_IN1_DQ
L1:SUS-ITMX_M0_DAMP_P_IN1_DQ
L1:SUS-ITMX_M0_DAMP_R_IN1_DQ
L1:SUS-ITMX_M0_ISIWIT_V_DQ
L1:SUS-ITMY_L1_WIT_P_DQ
L1:SUS-ITMY_L1_WIT_Y_DQ
L1:SUS-ITMY_M0_DAMP_T_IN1_DQ
L1:SUS-MC1_M1_DAMP_T_IN1_DQ
L1:SUS-MC1_M1_DAMP_V_IN1_DQ

L1:SUS-MC1_M1_DAMP_Y_IN1_DQ
L1:SUS-MC1_M2_WIT_L_DQ
L1:SUS-MC1_M3_WIT_P_DQ
L1:SUS-MC1_M3_WIT_Y_DQ

H1:ASC-REFL_A_RF45_I_PIT_OUT_DQ
H1:ASC-REFL_A_RF45_Q_PIT_OUT_DQ
H1:ASC-REFL_B_RF45_I_PIT_OUT_DQ
H1:ASC-REFL_B_RF45_Q_PIT_OUT_DQ
H1:HPI-ETMX_BLND_L4C_Z_IN1_DQ
H1:HPI-HAM3_BLND_L4C_X_IN1_DQ
H1:HPI-HAM4_BLND_L4C_RY_IN1_DQ
H1:HPI-HAM6_BLND_L4C_Z_IN1_DQ
H1:IMC-DOF_3_P_IN1_DQ
H1:IMC-I_OUT_DQ
H1:IMC-MC2_TRANS_PIT_OUT_DQ
H1:IMC-MC2_TRANS_SUM_OUT_DQ
H1:IMC-WFS_A_Q_YAW_OUT_DQ
H1:ISI-BS_ST2_BLND_X_GS13_CUR_IN1_DQ
H1:ISI-HAM5_BLND_GS13RY_IN1_DQ
H1:LSC-PRCL_IN1_DQ
H1:PEM-EY_MAG_EBAY_SEIRACK_X_DQ
H1:PEM-EY_MAG_EBAY_SEIRACK_Y_DQ
H1:PEM-EY_MAG_EBAY_SEIRACK_Z_DQ
H1:SUS-ITMY_L1_WIT_L_DQ
H1:SUS-ITMY_L1_WIT_P_DQ
H1:SUS-ITMY_L1_WIT_Y_DQ